

京都大学防災研究所 正員 柴田 徹
同 正員。輕部大蔵

この報告は粘土の定荷重式圧縮試験よりえらわれる応力～ヒズミ関係についての考察と、定ヒズミ式圧縮、Extension試験よりえらわれる間ゲキ水圧～ヒズミ関係についての実験結果を述べるものである。

1. 定荷重式圧縮試験における応力～ヒズミ関係

粘土の種類や試験条件によつては、重ね合せの原理が適用できる場合も存在することを判明しているので、このような場合の応力～ヒズミ関係について考えてみる。

いま一定応力 $\Delta\sigma$ が Δt 時間作用したときのヒズミ ε_i は次式にて与えられる。

$$\varepsilon_i = \left(\frac{1}{E_1} + \frac{1}{E_2} \right) \Delta\sigma + \frac{\Delta\sigma}{B_2 E_2} \log C \Delta t \quad (1)$$

ここに E_1, E_2 ; 弾性係数、 B_2, C ; 常数である。

定荷重式圧縮試験におけるよ／＼、 $\Delta\sigma$ を n 倍載荷したときの全ヒズミ量を ε とし、そのときの全応力を $\sigma = n \Delta\sigma$ とすれば、重ね合せの原理より

$$\varepsilon = n \cdot \varepsilon_i + \frac{\Delta\sigma}{B_2 E_2} \log n! \quad (2)$$

となり、(2)式を変形すると

$$\log \varepsilon = \log \varepsilon_i + \left[\frac{\log \{ n + (\Delta\sigma/B_2 E_2 \varepsilon_i) \log n! \}}{\log n} \right] \log \frac{\sigma}{\Delta\sigma} \quad (3)$$

が導かれる。そして数値計算によれば、

(3)式右辺の〔〕中の値は n とは無関係に近似的に一定となり、 $(\Delta\sigma/B_2 E_2 \varepsilon_i)$ のみの関数となることが判明しているので、

$$\log \varepsilon \doteq \log \varepsilon_i + f_n(\Delta\sigma/B_2 E_2 \varepsilon_i) \log \frac{\sigma}{\Delta\sigma} \quad (4)$$

となり、定荷重式の圧縮試験で得た σ ～ ε 関係の両対数プロットは直線となり、その直線の傾斜は $(\Delta\sigma/B_2 E_2 \varepsilon_i)$ の値で決まることになる。Fig. 1は大阪淀積層粘土の乱さない試料を用いて、 $\Delta\sigma = 0.5 \text{ Kg/cm}^2$ 、 $\Delta t = 24 \text{ hr}$ の圧縮試験を行なった結果をヒズミ～時間関係にまとめたものである。これより、 $\sigma = 0.5 \text{ Kg/cm}^2$ に対する直線なら、 $(\Delta\sigma/B_2 E_2) = 0.01\%$ 、 $\varepsilon_i = 0.07\%$ が求まるので、(4)式の $(\Delta\sigma/B_2 E_2 \varepsilon_i) = 0.14$ 、 $f_n(\Delta\sigma/B_2 E_2 \varepsilon_i) = 1.04$ が計算できる。Fig. 2は σ ～ ε 曲線の両対数プロットを示し、図中の直線は上で計算した(4)式

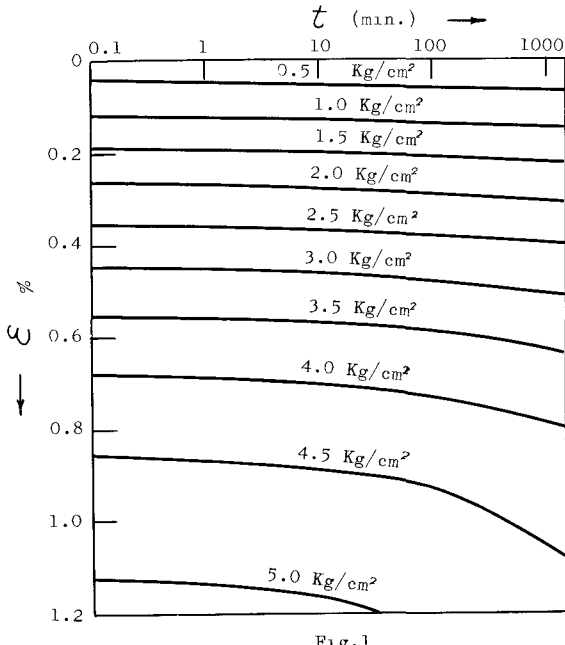


Fig. 1

を示している。そして(4)式の直線からそれより奥の応力を上限降伏値と考えている。またFig.1において、各荷重段階の応力履歴を除去して0～ε曲線を求めるとき、Fig.3に示すよう時間パラメータとして、上限降伏値以下では直線関係がえられる。なおFig.3には比較のために、応力履歴を除去しない0～ε曲線も併記してある。

2. 定ヒズミ式圧縮、Extension試験における間ゲキ水圧ヒズミ関係

Fig.4は、練り返し再圧密した大阪沖積層粘土を用いて行なった各種の圧密非排水センド断試験(軸方向ヒズミ0.007%/min)結果を、Rendulicの応力図上にプロットしたものである。すなわち図中の曲線aは $\sigma_a = \sigma_f$ の圧力下で圧密終了した供試体を“ $\sigma_f = \text{const.}$, σ_a :増加”の条件で、曲線bは“ $\sigma_f = \text{const.}$, σ_a :減少”の条件で、また曲線c,dは“ $\sigma_f = \text{const.}$, σ_a :増加→減少”の条件でせん断破壊の場合の応力経路である。

これらの結果を(σ_d/σ_m)と軸方向ヒズミとの関係に整理するとFig.5のようになり、非排水の際に発生する間ゲキ水圧は平均主応力ヒズミで定まることが予想される。ただし、

$$\sigma_d = \text{過剰間ゲキ水圧} (\Delta u)$$

$$-\text{平均主応力の増分} \left(\frac{\sigma_a + 2\sigma_f}{3} \right)$$

$$\sigma_m = \text{平均主応力}; (1/3)(\sigma_a + 2\sigma_f)$$

である。

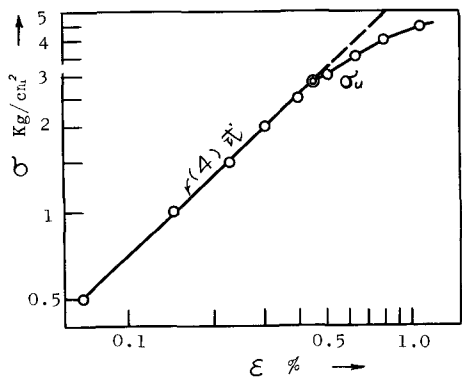


Fig.2

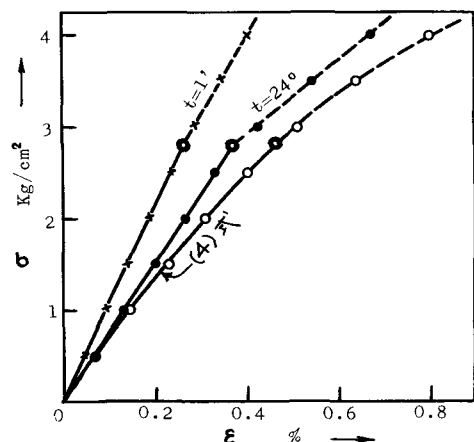


Fig.3

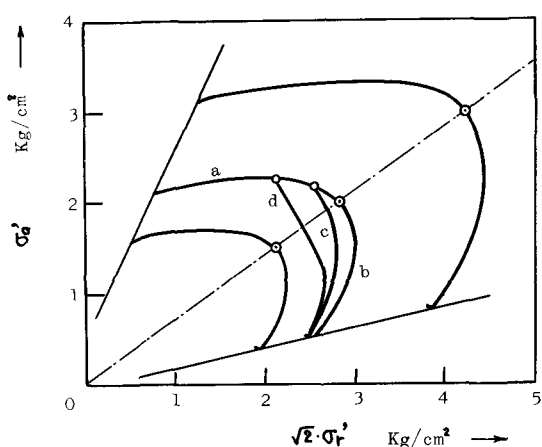


Fig.4

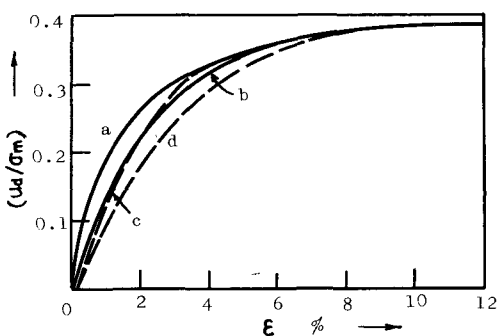


Fig.5